

## مطالعه مولکولی-هیستوپاتولوژی ضایعات ریوی ناشی از ویروس اسهال ویروسی گاو

فرهنگ ساسانی<sup>۱\*</sup> فریبا خاکی<sup>۱</sup> فرهاد موسی خانی<sup>۲</sup> محسن ظفری<sup>۳</sup>

(۱) گروه پاتولوژی، دانشکده دامپزشکی دانشگاه تهران، تهران - ایران.

(۲) گروه میکروبیولوژی، دانشگاه آزاد اسلامی واحد کرج، کرج - ایران.

(۳) آزمایشگاه تشخیصی دامپزشکی بخش خصوصی، تهران - ایران.

(دریافت مقاله: ۳۰ فروردین ۱۳۹۱ ، پذیرش نهایی: ۷ شهریور ۱۳۹۱)

### چکیده

**زمینه مطالعه:** ویروس اسهال ویروسی گاویکی از پاتوژن‌های دستگاه تنفس گاو به شمار می‌رود که اینمی‌ریه را تضعیف کرده و بیماری زای سایر باکتری‌ها و ویروس‌هارا تشیدیدمی‌کند. **هدف:** مطالعه حاضر به منظور ارزیابی تاثیر ویروس اسهال ویروسی گاو بر بارفت‌ریه انجام گرفت. **روش کار:** در این مطالعه، <sup>۳</sup> نمونه‌ریه گاو مور دارای مایش RT-PCR و هیستوپاتولوژی قرار گرفت. نتایج: بررسی هیستوپاتولوژیک ضایعات مختلفی را در بافت‌های ریه نشان داد. نتایج آزمایش RT-PCR و مشاهدات هیستوپاتولوژیک هریک از نمونه‌های باطور جداگانه موردنظر مطالعه و مقایسه قرارداده شد. از آزمون مربع کای برای مشخص شدن ارتباط میان وجود ویروس اسهال ویروسی گاو و بروز چهار ضایعه مختلف شامل: ۱- پنومونی بینایی، ۲- برونشیت و برونوژیولیت، ۳- ادم، آمفیزیم آلتکتازی و ۴- برونوکنومونی استفاده شد و در صورتی که پیش‌فرض های آزمون کای برقرار نمی‌شد، از تست دقیق فیشر استفاده گردید. درده مورداز نمونه‌های بافت ریه آزمایش RT-PCR، مثبت تشخیص داده شد. <sup>۵</sup> مورداز نمونه‌های BVD مثبت، پنومونی بینایی داشته و <sup>۶</sup> مورداز نمونه‌های BVD منفی، پنومونی بینایی نداشتند. در نهایت، در ریه‌های موردنظر مطالعه، تنها حضور ویروس اسهال ویروسی گاو با پنومونی‌های بینایی باشد <sup>۷</sup> + ارتباط معنی داری را نشان داد. **نتیجه گیری نهایی:** حضور ویروس با سایر ضایعات قابل انتظار ارتباط معنی داری را نشان نداد که می‌توان به نقش احتمالی باکتری‌ها، ویروس‌های مختلف و عوامل توکسیک که در این طرح مجال بررسی نشد، اشاره نمود.

واژه‌های کلیدی: BVDV، PCR، پنومونی بینایی، گاو.

لتفوئیدی نیز ایجاد می‌شود. کاهش در لنفوسيت‌های T (CD4-CD8)، کاهش در لنفوسيت‌های B و نوتروفیل‌ها نیز ممکن است وجود داشته باشد. در نوتروفیل‌های آلوده به ویروس، فعالیت باکتری کشی نیز کمتر است (<sup>۴, ۹, ۱۵</sup>). بسیاری از ویروس‌های برای تکثیر کافی و گسترش در بدن می‌بینند از دستگاه اینمی می‌بینند (<sup>۱</sup>)، فرض بر این است که BVDV از طریق اختلال در عملکرد مونوسيت‌های گاو از پاسخ اینمی فرار می‌کند (<sup>۵</sup>). هردو بیوتیپ سایتوپات و غیرسایتوپات ویروس، تشکیل آنیون سوپراکسید و تولید فاکتور نکروز توموری (TNF) را در پاسخ به LPS کاهش می‌دهند، در مقابل تنها بیوتیپ غیرسایتوپات تولید شدید اکسید نیتروژن را در سلول‌ها آغاز می‌کند. کاهش در سنتز آنیون سوپراکسید و فاکتور نکروز توموری و آغاز سنتز اکسید نیتروژن با تضعیف اینمی ارتباط دارد. هردو بیوتیپ، کموتاکسی ایجاد شده با سایتوکائین‌ها، سنتز فاکتور نکروز دهنده‌ی اینترلوکین یک وابسته به LPS را افزایش می‌دهند (<sup>۹</sup>). مطالعات نشان داده که BVDV تولید اینترلوکین دور لنفوسيت‌هارا نیز مهار می‌کند (<sup>۱۶</sup>).

تاثیر عفونت آزمایشگاهی BVDV روی عملکردهای ماکروفاژ عبارت است از، افزایش در سنتز اینترفرون‌یک آلفا و بتا، سنتز بروستاگلاندین E2 و بروز آپوپتوز در عفونت به بیوتیپ سایتوپات، که بیوتیپ غیرسایتوپات چنین تاثیری را ندارد. بیوتیپ غیرسایتوپات آپوپتوز و بیان اینترلوکین را

### مقدمه

ویروس BVD، متعلق به جنس پستی ویروس از خانواده فلاوی و بیریده است. ویروس دونوع عفونت شامل عونت قابل انتقال و عفونت پایدار ایجاد می‌کند که در پاسخ اینمی ضد ویروسی می‌بینند تفاوت دارند و هردو نوع عفونت احتمال عفونت‌های ثانویه را با تضعیف اینمی افزایش می‌دهند (<sup>۱۶</sup>).

یکی از ارگانیسم‌های مهم در بیماریهای تنفسی گاو است، با برخی باکتری‌ها و ویروس‌های اثر سینرژیسم دارد (<sup>۱۰</sup>). ویروس بعنوان یکی از انواع دستگاه اینمی عمل کرده و با تضعیف اینمی، زمینه را برای سایر پاتوژن‌ها و ایجاد پنومونی مساعد می‌کند. مکانیسم تضعیف اینمی ایجاد شده در عفونت BVDV بطور کامل مشخص نیست. ویروس لنفوسيت‌ها و ماکروفاژها را هدف قرار می‌دهد و با کاهش قدرت باکتری کشی و کمotaکسی، کاهش تکثیر لنفوسيتی، افزایش تولید پروستاگلاندین E2، کاهش فعالیت و مهاجرت نوتروفیلها، کاهش ترشح اینمنوگلوبولین‌ها به گردش خون، کاهش بیان کمپلمان و گیرنده‌های Fc، کاهش تولید کموکائین و مهار تولید لکوتین در تضعیف اینمی نقش دارد. در عفونت BVDV، کاهش تولید پروتئین‌های ضد میکروبی از سلول‌های اپیتلیال آلووده به ویروس، کاهش عملکرد ماکروفاژهای آلوئولی و نوتروفی بوابسته به ویروس نیز اتفاق می‌افتد (<sup>۴</sup>). در عفونت حاد، لکوبنی و تخلیه



هماتوکسیلین و ائوزین رنگ آمیزی شد. مشاهدات هیستوپاتولوژی بافت‌های ریه به چهار عنوان تقسیم‌بندی شد: ۱- پنومونی بینایینی (این ضایعه به چهار شدت صفر، +۱، +۲، +۳، +۴ درجه بندی شد)، ۲- برونشیت و برونژیولیت، ۳- برونوکوپنومونی و ۴- ادم، آمفیزم و آتلکتازی. جهت تعیین ارتباط میان ویروس و ضایعات دستگاه تنفس، نتایج آزمایش PCR-RT و مشاهدات هیستوپاتولوژیک از طریق آزمون کای و تست دقیق فیشر مورد آنالیز قرار گرفتند.

## نتایج

از مجموع ۳۰ نمونه ریه که با روش RT-PCR جهت حضور RNA ویروس BVD مورد آزمایش قرار گرفتند، تعداد ۱۰ باند تشکیل شده در ژل PCR RT-PCR مقایسه با کنترل مثبت، با اندازه‌ی ۲۸۵ bp، مثبت تشخیص داده شد (تصویر ۱) که حضور ویروس در ۱۰ مورد از نمونه‌های ریه تایید شد.

ضایعات مشاهده شده در ریه‌های مورد مطالعه به چهار قسمت مختلف، شامل پنومونی بینایینی، برونشیت و برونژیولیت، برونوکوپنومونی و ادم و آمفیزم و آتلکتازی تقسیم گردید.

۵ مورد از نمونه‌های BVD مثبت پنومونی بینایینی داشته (تصویر ۲) و ۱۰ مورد از نمونه‌های BVD منفی، پنومونی بینایینی نداشتند. ضایعه‌ی پنومونی بینایینی بر حسب شدت آن به چهار درجه تقسیم شد: ۰/۰۳۷ p=۰/۱۰۳+، ۰/۱۰۳+ p=۰/۱۰۲+، ۰/۲۰۲+ p=۰/۱۰۳+ و ۰/۲۰۳+ p=۰/۱۰۳+. تست دقیق فیشر با ۰/۱۰۳+ نشان داد. رامیان وجود BVD و پنومونی بینایینی در ریه‌های مورد مطالعه نشان نداد. ۳ مورد از نمونه‌ها، پنومونی بینایینی باشدت ۳+ داشتند که هرسه موردنیز BVD مثبت بودند، تست فیشر با ۰/۰۳۶۷ p=۰/۰۳۶۷ ارتباط معنی‌داری رامیان وجود BVD و پنومونی بینایینی باشدت ۳+ نشان داد، در حالی که وجود ویروس با سایر شدت‌های پنومونی بینایینی ارتباط معنی‌داری را نشان نداد.

۵ مورد از نمونه‌های BVD مثبت، برونشیت و برونژیولیت داشتند (تصویر ۴) و ۱۵ مورد از نمونه‌های BVD منفی این ضایعه را نداشتند اما تست فیشر میان وجود BVD و برونشیت و برونژیولیت در ریه‌های مورد مطالعه با ۰/۱۶۸۷ p=۰/۱۶۸۷ ارتباط معنی‌داری را نشان نداد.

۲ مورد از نمونه‌های BVD مثبت، برونوکوپنومونی حاد داشتند (تصویر ۵) و ۱۶ مورد از نمونه‌های BVD منفی ضایعه را نداشتند، تست فیشر با ۰/۰۶۷۳۶ p=۰/۰۶۷۳۶ ارتباط معنی‌داری رامیان وجود BVD و برونوکوپنومونی در ریه‌های مورد مطالعه نشان نداد.

۷ مورد از نمونه‌های BVD مثبت، ادم و آمفیزم و آتلکتازی داشتند و ۱۵ مورد از نمونه‌های BVD منفی ضایعه را نداشتند، تست فیشر نیز میان حضور BVD و ادم و آمفیزم و آتلکتازی در ریه‌های مورد مطالعه با ۰/۰۲۰۴ p=۰/۰۲۰۴ ارتباط معنی‌داری را نشان داد.

مهرار می‌کند، این مهار تنها در سلول‌های مشاهده شده که با عفونت به بیوتیپ غیرسایتوپات dsRNA متعلق به ویروس، حداقل دوازده ساعت در سلول حضور داشته است. این نشان می‌دهد که بیان پروتئین‌های ویروسی برای بروز اثرات ناشی از ویروس غیرسایتوپات ضروری است (۱۴). در مطالعه‌ای، ماکروفازهای آلوئولی ریه، قبل و بعد از تماس با BVDV مورد مقایسه قرار گرفت و نشان داده شد که بیان گیرنده FC3 و C3 در ماکروفازها، فعالیت میکروب کشی و فاگوسیتی ماکروفازها و تولید BVDV بakteرهای کموتاکتیک نوتروفیلی در ماکروفازهای آلوئولی به بیوتیپ سایتوپات باعث سنتز اینترفرون آلفا و بتای تیپ یک در ماکروفازهای عفونی به ویروس شده و سلول‌های میزبان را از طریق آپوپتوز می‌کشد. در مقابل بیوتیپ غیرسایتوپات با سنتز اینترفرون همراه نیست و سلول‌های عفونی هیچ علامتی از عفونت را نشان نمی‌دهند. بیوتیپ غیرسایتوپات، آپوپتوز و تولید اینترلوكین یک را در ماکروفازها بطور موثری مهار می‌کند، بنابراین سلول‌های عفونی به ویروس غیرسایتوپات، در برابر مرگ سلولی نیز مقاومت می‌کنند (۲، ۹).

یکی از اهداف تضعیف ایمنی ناشی از BVD، مونوپسیت‌های گاو است. با مطالعه عفونت BVD روی بروتئین‌های مونوپسیتی نشان داده شد که چهل و هفت پروتئین گاوی در عملکرد ایمنی سلول‌های عرضه کننده آنتی زن (APC)، پس از عفونت با بیوتیپ سایتوپات ویروس بطور مشخصی مختلف شده‌اند. پروتئین‌های مربوط به پاسخ ایمنی نظری پروتئین چسبندگی سلول، آپوپتوز، ورود آنتی زن، فراوری و عرضه پروتئین‌های فاز حاد، MHC تیپ یک و دو و سایر مولکول‌های دخیل در BVDV عملکرد ایمنی سلول‌های عرضه کننده آنتی زن در عفونت با BVDV مختلف شده‌اند. اطلاعات نشان داده که بیوتیپ سایتوپات ویروس طی آغاز فعالیت و تمایز مونوپسیت‌ها، عرضه‌ی آنتی زن به لنفوپسیت‌های T را مهار می‌کند که باعث التهاب کنترل نشده مربوط به ماکروفازهای فعال، گسترش شدید ویروس و تخریب مکانیسم‌های ضد ویروسی در میزبان می‌شود (۲).

## مواد و روش کار

تعداد ۳۰ نمونه از بافت ریه برای آزمایشات RT-PCR و هیستوپاتولوژی مورد استفاده قرار گرفت. مقدار ۰/۰۵ g از بافت ریه و ترجیحاً از نواحی مرکز بافت برداشته و جهت آزمایش در کپ استریل مخصوص قرار داده شد. یک جفت پرایمر شامل پرایمر فوروارد با توالی (GCC ATG CCC TTA GTA GGA CT) و پرایمر معکوس با توالی (AGA TCG GTC CTG GTT TGA TA) که هر پرایمر توالی حدود بیست نوکلئوتیدی است، مورد استفاده قرار گرفت. نمونه‌های بافت ریه جهت آزمایشات هیستوپاتولوژی، به ابعاد مناسب تقسیم شده و در فرمالین ۱۰٪ فیکس شد و پس از مراحل پاساژ بافت در نهایت به روش



## بحث

ویروس BVD، یکی از ارگانیسم‌های با اهمیت در بیماریهای تنفسی گاوبه شمار می‌رود. اهمیت ویروس از دو جهت مورد توجه قرار می‌گیرد. اول آنکه ویروس با برخی باکتری‌ها و ویروس‌ها از جمله هرپس ویروس گاوی تیپ یک، ویروس سنسیشیال تنفسی گاووسالمونلا اثرسینتریسم دارد. دیگر آنکه ویروس با تضییف اینمی‌ریه، زمینه رابرای پنومونی فراهم می‌کند.

در مطالعه‌ای گوساله‌هایی که تنها مبتلا به BVD بودند در مقایسه با گوساله‌هایی که همزمان درگیر BVD و *Mannheimia haemolytica* بودند، علائم بالینی خفیفی را نشان دادند و تفاوت‌هایی در پاتولوژی ریه آنها وجود داشت (۱۳).

گزارشات متعددی وجود دارد که اثرسینتریسم ویروس را با سایر پاتوژن‌ها تایید کرده است. برای مثال در گوساله‌ی مبتلا به BVD و IRB بطور توام، ویروس در بدن میزبان توزیع سیستمیک داشته در حالی که در ابتلایی به IRB به تنها یابی، این ویروس در ریه لوکالیزه شده و همان جا باقی می‌ماند. در همین مطالعه، گفته شده که برخی مطالعات نشان می‌دهند که در BRSV و BVDV بیماری‌ای بکدیگر تقویت می‌کنند، به طوری که شدت علائم بالینی و توسعه‌ی ضایعات در ریه در عفونت توام آنها شدیدتر از عفونت هر کدام از دو عامل به تنها یابی بوده است.

در مطالعه‌ای، سه گوساله مبتلا به BVD، پنج گوساله مبتلا به *Mannheimia haemolytica* و پنج گوساله مبتلا به عفونت توام این دو عامل مورد بررسی قرار گرفتند که در عفونت توام برونوکوپنومونی فیرینی و پلوریت مشاهده شد. در حالی که در موارد عفونت تنها یکی از این دو عامل، علائم بالینی ملایم دیده گردید (۱۰). در هیستوپاتولوژی این مطالعه نیز در دو مورد از نمونه‌های یافته ریه که BVD مشیت بودند، برونوکوپنومونی مشاهده گردید که با توجه به مشکوک بودن ضایعات مشاهده شده در ریه‌ی آن به عفونت باکتریایی، می‌توان بیان نمود که همراه بودن عفونت BVD و عفونت باکتریایی در این ریه باعث بروز ضایعات قابل توجه از جمله برونوکوپنومونی فیرینی چرکی شده است. در مطالعات آزمایشگاهی که BVD و منهmia همولیتیکا با هم همراه بودند، در مقایسه با عفونت هر کدام از دو عامل به تنها یابی، برونوکوپنومونی BVDV فیرینی را نشان داده شده است. در مطالعه‌ای نشان داده شده که BVDV هیچ گونه اثری روی مهار پاکسازی پاستور لا از دستگاه تنفسی ندارد (۶). همچنین نشان داده شده است که ماکروفاژهای مبتلا به BVDV، تولید فاکتورهای پیش انعقادی را فراش می‌دهند که در واقع بخشی از مسیر رسوب فیرین است. افزایش رسوب فیرین در آلوئول‌ها، محیط رابرای تکثیر باکتری‌های ثانویه فراهم می‌کند (۸) (تصویر ۵).

در مطالعه‌ای، گوساله‌های مبتلا به IRB در مقایسه با گوساله‌هایی قرار گرفتند که قبل از تماس با هرپس ویروس، بیوتیپ غیرسایتوبات

BVDV وارد بدن آنها شده بود. در گوساله‌های مبتلا به IRB، ویروس تنها در بخش قدامی دستگاه تنفس جدا شد اما در گروهی که در تماس با ویروس BVD بودند، ویروس در بسیاری یافت‌ها و با غلظت بالا جدید است. نتیجه این که BVDV توان گوساله را در پاکسازی هرپس ویروس از ریه مختل می‌کند و اجازه به گسترش بیشتر آن می‌دهد (۱۲).

عفونت BVDV با مکانیسم‌هایی که پیشتر در پاتوژن‌ویروس گفته شد از جمله مهار تولید اینترفرون، مهار تکثیر مونوکوتیت‌ها و کمotaکسی، مهار فعالیت نوترووفیل‌ها و پاکسازی باکتری، اینمی میزبان را ضعیف می‌کند. همچنین با کاهش تعداد و عملکرد نوترووفیل‌های در گردش، زمینه رابرای پنومونی‌های باکتریایی مساعد می‌کند (۴).

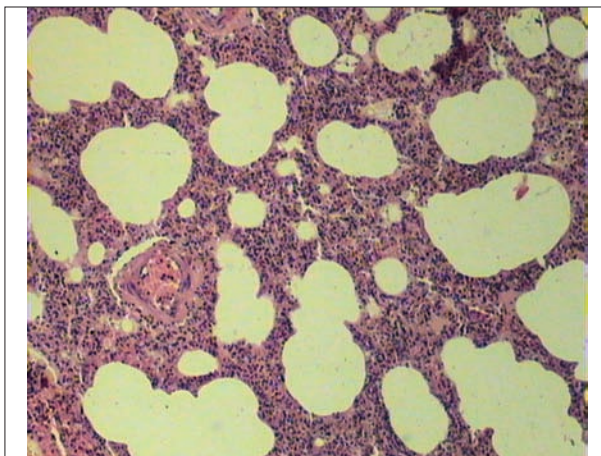
در مطالعه‌ی دیگری، عفونت تواما BRSV و BVDV با عفونت هر کدام به تنها یابی مورد مقایسه قرار گرفت. در عفونت تواما علائم بالینی شدید، ضایعات ریوی پیش‌رفته، لکوبنی، تب و اسهال مشاهده شد. نتایج نشان داد که ضایعات ریوی و روده‌ای در عفونت تواما شدیدتر و بیشتر از عفونت هر عامل به تنها یابی است و احتمالاً این دو ویروس با هم اثر سینتریسم دارند. همچنین بیان می‌شود که نقش BVDV در بیماریهای تنفسی از طریق تضعیف اینمی، بصورت غیرمستقیم اعمال می‌شود و مستقیماً به دلیل عفونت بافت ریه مشکلی ایجاد نمی‌کند (۳). ضایعات پاتولوژیک ریوی قابل انتظار در عفونت BVDV عبارتند از برونشیت و برونشیولیت و تراکتئیت ملایم، اکسودای ملایم چرکی داخل برونشیول‌ها، تجمع لنفوسيت‌ها و ماکروفاژهای اطراف رگ‌ها و برونشیول‌ها و فضای بینابینی و آرتیت لنفوسيتیک (۴). در هیستوپاتولوژی این مطالعه نیز در ۵ مورد از نمونه‌هایی که BVD مشیت بودند، برونشیت و برونشیولیت مشاهده گردید. در ۲ مورد از نمونه‌هایی که BVD مشیت بودند، اکسودای چرکی داخل برونش ها و نفوذ لنفوسيت و ماکروفاژه زیر مخاط برونش مشاهده گردید.

البته ضایعات ریوی از جمله پنومونی در صورتی که تنها پاتوژن موجود در ریه BVDV باشد، کمتر ایجاد می‌شود. در صورت بروز عفونت‌های ثانویه متعاقب تضعیف اینمی ناشی از BVD، ضایعات ریوی شدیدتر شده و بسته به عامل عفونت ثانویه به اشکال متفاوتی بروز می‌کند.

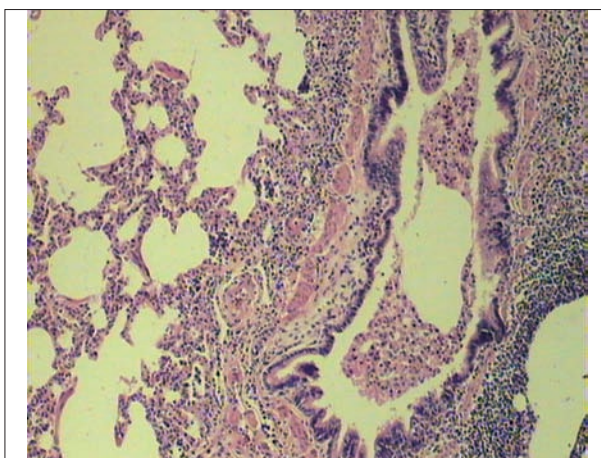
در این مطالعه رابطه آلودگی به ویروس BVD با هریک از ضایعات میکروسوکوبی پاتولوژیک تایید شده از جمله درجه شدت پنومونی بینابینی مورد ارزیابی آماری قرار گرفت که تنها رابطه آلودگی با بالاترین درجه شدت پنومونی بینابینی معنی دارشود و در بررسی درجات و شدت‌های مختلف پنومونی بینابینی، تنها میان حضور BVDV و پنومونی بینابینی باشد (۳+۴) ارتباط معنی دار مشاهده شد.

ضایعات غالب دیگر که مشاهده شد، برونوکوپنومونی فیرینی یا چرکی و ترشحات اکسوداینی بود که علاوه بر برونش ها و برونشیول‌ها، فضای داخل کیسه‌های هوایی را نیز درگیر کرده بود. همانگونه که قبل مطرح گردید همراه BVD با عواملی از جمله

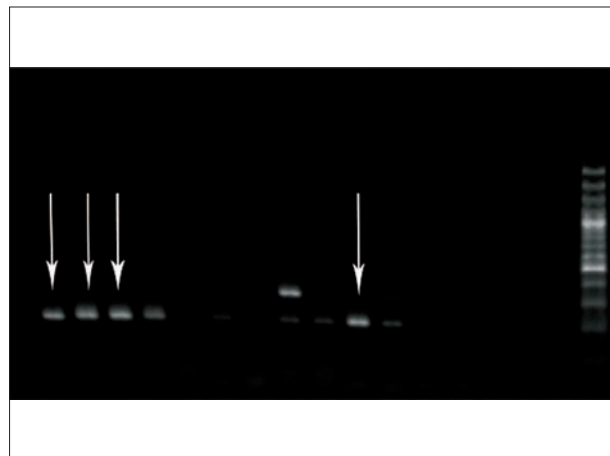




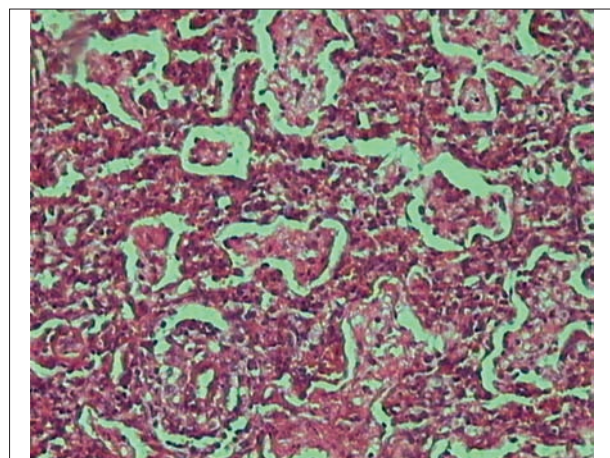
تصویر ۲. پنومونی بینایینی مزمن، حضور سلول‌های تک هسته‌ای در فضای بینایینی. رنگ آمیزی H&E، بزرگنمایی (x40).



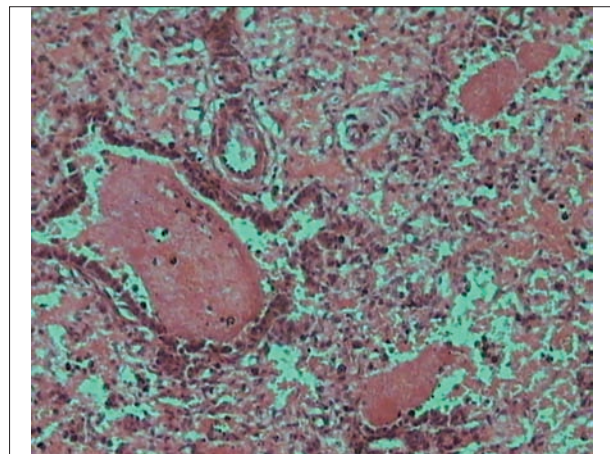
تصویر ۴. وجود اگسودا با غالیت ماکروفاز داخل برونش و برونشیول، نفوذ لنفوцит و ماکروفاز و پلاسماسل در زیر مخاط. رنگ آمیزی H&E، بزرگنمایی (x40).



تصویر ۱. تصویری RT-PCR مخصوص BVDV. تعداد ۴ باند، مشتب است.



تصویر ۳. پنومونی بینایینی حاد، ضخیم شدن دیواره آلوئول‌ها و نفوذ فیبرین و سلول‌های التهابی در داخل آلوئول‌ها در فضای بینایینی. رنگ آمیزی H&E، بزرگنمایی (x100).



تصویر ۵. برونوکپنومونی فیبرینی چرکی، حضور فیبرین داخل آلوئول‌ها و برونشیول‌ها. رنگ آمیزی H&E، بزرگنمایی (x100).

قبليت ايجاد برونوکپنومونی فیبريني *Mannheimia haemolytica* چرکي را دارد (۱۱).



## References

- Bendfeldt, S., Ridpath, J.F., Neill, J.D. (2007) Activation of cell signaling pathways is dependent on the biotype of bovine viral diarrhea viruses type 2. *Virus. Res.* 126: 96-105.
- Boyd, B.L., Lee, T.M., Kruger, E.F., Pinchuk, L.M. (2004) Cytopathic and non-cytopathic bovine viral diarrhoea virus biotypes affect fluid phase uptake and mannose receptor-mediated endocytosis in bovine monocytes. *Vet. Immunol. Immunopathol.* 102: 53-65.
- Brodersen, B.W., Kelling, C.L. (1999) Effect of concurrent experimentally induced bovine respiratory syncytial virus and bovine viral diarrhea virus infection on respiratory tract and enteric disease in calves. *Am. J. Vet. Res.* 60: 13.
- Jubb, K.V.F, Kennedy, P.C., Palmers, N. (2007) Pathology of Domestic Animals. (5<sup>th</sup> ed.). New York, USA.
- Lee, S.R., Pharr, G.T., Boyd, B.L., Pinchuk, L.M. (2008) Bovine viral diarrhea viruses modulate toll-like receptors, cytokines and co stimulatory molecules genes expression in bovine peripheral blood monocytes. *Comp. Immunol. Microbiol. Infect. Dis.* 31: 403-418.
- Lopez, A., Maxie, M.G., Savan, M., Ruhnke, H.L., Thomson, R.G., Barnum, D.A., et al. (1982) The pulmonary clearance of *Pasteurella haemolytica* in calves infected with bovine virus diarrhea or *Mycoplasma bovis*. *Can. J. Comp. Med.* 46: 302-306.
- Murphy, F.A., Gibbs, P.J., Horzinek, M.C., Studdert, M.J. (1999) Veterinary Virology. (3<sup>rd</sup> ed.). Academic Press. New York, USA.
- Olchowy, T.W., Slauzon, D.O., Bochsler, P.N. (1997) Induction of procoagulant activity in virus infected bovine alveolar macrophages and the effect of lipopolysaccharide. *Vet. Immunol. Immunopathol.* 58: 27-37.
- Peterhans, E., Jungi, T.W., Schweizer, M. (2003) BVDV and innate immunity. *Biology.* 31: 107-111.
- Potgieter, L.N. (1997) Bovine respiratory tract disease caused by bovine viral diarrhea virus. *Vet. Clin. North Am. Food Anim. Pract.* 13:471-481.
- Potgieter, L.N., McCracken, M.D., Hopkins, F.M., Walker, R.D., Guy, J.S. (1984) Experimental production of bovine respiratory tract disease with bovine viral diarrhea virus. *Am. J. Vet. Res.* 45: 1582-1585.

ایندول و گازهای توکسیک مانند  $\text{NH}_3$  و  $\text{SH}_2$  وغیره ممکن است در ایجاد ضایعات برونشیت و برونشیولیت نقش داشته باشد. از طرفی باکتری‌ها در ایجاد برونشیت و برونشیولیت و حتی برونوکپنومونی فیبرینی و چرکی می‌توانند نقش داشته باشند که مطالعه این موارد، تحقیقات کامل تری را طلب نموده و بهتر آنست که مجموعه عوامل مورد بررسی قرار گیرند.

در مجموع انتظار داشتیم که بین حضور عامل BVDV و بروزوپنومونی بینایی‌نی ارتباط معنی‌داری مشاهده گردد اما تنها پنومونی بینایی‌نی باشد + ۳ با وجود عامل BVDV در ریه‌های مورد مطالعه ارتباط معنی‌دار را نشان داد و سایر درجات شدت پنومونی بینایی‌نی ارتباط معنی‌داری نشان نداد. سایر ضایعات پاتولوژیک ریوی قبل انتظار در آلودگی به BVDV، نیز در رابطه معنی‌داری را با حضور ویروس BVDV در ریه‌های مورد مطالعه نشان ندادند. برای تفسیر نتایج بدست آمده در این مطالعه می‌توان به نقش عوامل پاتوژن متعدد اعم از باکتری‌ها، ویروس‌ها و عوامل توکسیک در روز ضایعات ریوی از جمله پنومونی بینایی‌نی و همچنین شدت بروز ضایعات اشاره کرد، حال آنکه در این مطالعه تنها ویروس BVDV بررسی شده است. دیگر آن که نقش ویروس BVDV در بروز ضایعات ریوی در کنار سایر پاتوژن‌ها مشخص تراست و همچنین ضایعات ریوی در غفونت توا ما ویروس BVDV با سایر پاتوژن‌های ریوی شدیدتر خواهد بود و بهتر تشخیص داده خواهد شد.

## تشکر و قدردانی

با تشکر و قدردانی فراوان از معاونت پژوهشی دانشکده دامپزشکی دانشگاه تهران و اساتید بزرگوار آقایان دکتر سعید بکائی و دکتر علیرضا باهنر که در بررسی یافته‌ها و محاسبات آماری همکاری صمیمانه‌ای ابراز نمودند و آقایان، مهندس رضاسامانی و مهندس امین بنی نجارت که در تهیه مقاطع بافتی نهایت سعی و تلاش خود را نشان دادند و نیز سرکار خانم سمیرا قلمبر دزفولی و آقای محمد حری که برای همگی این عزیزان سلامتی و موفقیت روز افزون را آرزو مندیم.



12. Potgieter, L.N., McCracken, M.D., Hopkins, F.M., Walker, R.D. (1984) Effect of bovine viral diarrhea virus infection on the distribution of infectious bovine rhinotracheitis virus in calves. Am. J. Vet. Res. 45: 687-90.
13. Potgeiter, L.N.D., McCracken, M.D., Hopkins, F.M. (1985) Comparison of the pneumopathogenicity of two strains of bovine viral diarrhea virus. Am. J. Vet. Res. 46: 151-153.
14. Schweizer, M., Peterhans, E. (2001) Noncytopathic bovine viral diarrhea virus inhibits double-stranded RNA-induced apoptosis and interferon synthesis. J. Virol. 75: 4692-4698.
15. Smith, B.P. (2009) Large Animal Internal Medicine. (4<sup>th</sup> ed.). St. Louis, Baltimore, USA.
16. Trautwein, G. (1992) Immune mechanisms in the pathogenesis of viral diseases: A review. Vet. Microbiol. 33: 19-34.
17. Welsh, M. D., Adair, B.M., Foster, J.C. (1995) Effect of BVD virus infection on alveolar macrophage functions. Vet. Immunol. Immunopathol. 46: 195-210.



# Molecular and histopathological findings on induced pulmonary lesions by bovine viral diarrhea virus

Sasani, F.<sup>1\*</sup>, Khaki, F.<sup>1</sup>, Moosakhani, F.<sup>2</sup>, Safari, M.<sup>3</sup>

<sup>1</sup>Department of Pathology, Faculty of Veterinary Medicine, University of Tehran, Tehran-Iran.

<sup>2</sup>Department of Microbiology, Faculty of Veterinary Medicine, Islamic Azad University, Karaj Branch, Karaj-Iran.

<sup>3</sup>D.V.M, Veterinary laboratory assistant, Karaj-Iran.

(Received 18 April 2012 , Accepted 28 August 2012)

## Abstract:

**BACKGROUND:** The bovine viral diarrhea virus (BVDV) is one of the bovine respiratory system pathogens that represses lungs immunity and raises the pathogenicity of other bacteria and viruses. **OBJECTIVES:** The aim of the present study was to evaluate the effect of BVDV in lung tissue. **METHODS:** In this study, 30 bovine lung tissues were used. **RESULTS:** Histopathologic analysis showed different lesions in lung tissues. RT-PCR test results and histopathologic observations were studied for each sample and compared. Kai Square Test was used to study any possible association between the existence of BVD virus and incidence of four common lesions: 1- Interstitial pneumonia, 2- bronchitis and bronchiolitis, 3- edema, emphysema and atelectasis and 4- bronchopneumonia. If the assumptions of X<sup>2</sup> test were not applicable, the Fisher Exact Test was used. The RT-PCR test for BVDV results was positive for 10 lung samples. 5 BVD positive cases were involved with interstitial pneumonia, while 10 BVD negative cases were not affected. Finally, in the studied lung tissues, only the 3 + degree or severe interstitial pneumonia was significantly associated with the existence of BVD virus. **CONCLUSIONS:** No significant relation was seen regarding other possible lesions, which may have resulted from the probable roles of bacteria or other viruses and toxic factors that were not studied in this project.

**Key words:** RT-PCR, BVDV, interstitial pneumonia, cattle.

## Figure Legends and Table Captions

**Figure 1.** RT-PCR detection for bovine viral diarrhea virus. Arrows show 4 positive bands.

**Figure 2.** Chronic interstitial pneumonia, mononuclear cells in interstitial space (H&E), (40X).

**Figure 3.** Acute interstitial pneumonia, thickening of alveolar walls with infiltration of fibrin and inflammatory cells to alveoli and interstitial space (H&E), (100X).

**Figure 4.** Exudation with abundant macrophages into bronchus and bronchiol, infiltration of lymphocyte, macrophage and plasma cell in submucosa (H&E), (40X).

**Figure 5.** Fibrinopurulent bronchopneumonia, existence of fibrin in alveoli and bronchiols (H&E), (100X).



\*Corresponding author's email: fsasani@ut.ac.ir, Tel: 021-66923510, Fax: 021-66933222